

УДК 595.768.23:591.4

## ОПИСАНИЕ ЛИЧИНКИ СТАРШЕГО ВОЗРАСТА ЖУКА-ДОЛГОНОСИКА *DONUS NIDENSIS* (COLEOPTERA, CURCULIONIDAE)

В. Ю. Назаренко

*Институт зоологии НАН Украины, ул. Б. Хмельницкого, 15, 252601 Киев-30, ГСП, Украина*

Получено 4 ноября 1997

**Описание личинки старшего возраста жука-долгоносика *Donus nidensis* (Coleoptera, Curculionidae).** Назаренко В. Ю. — Дано морфологическое описание с использованием хетотаксии личинки старшего возраста *D. nidensis* Mazur et Petryszak.

**Ключевые слова:** Coleoptera, Curculionidae, *Donus nidensis*, личинка, морфология, хетотаксия.

**A Description of Old-Stage Larva of the Weevil *Donus nidensis* (Coleoptera, Curculionidae).** Nazarenko V. Yu. — Old-stage larva of *D. nidensis* Mazur et Petryszak is described with use of chaetotaxy.

**Key words:** Coleoptera, Curculionidae, *Donus nidensis*, larva, morphology, chaetotaxy.

### Введение

Долгоносик *Donus nidensis* — новый для фауны Украины вид, ранее известный лишь для фауны Польши (Mazur, Petryszak, 1981; Mazur, Wanat, 1994). Преимагинальные стадии этого вида до настоящего времени оставались не изученными.

### Материал и методы

Сбор личинок этого вида проводился в 1996–1997 гг. в окр. с. Заволока на склоне горы возле карьера (Черновицкая обл., окр. г. Черновцы), всего было обнаружено 16 личинок различных возрастов. Часть личинок фиксировалась кипятком и сохранялись в 96%-ном этиловом спирте, остальные содержались в садке для выведения имаго с целью последующей идентификации вида и исследования их биологических особенностей. Автор выражает глубокую признательность д-ру М. Мазуру (M. Mazur, Instytut Systematyki i Ewolucji Zwierząt PAN, Krakow) за предоставление паратипа имаго *D. nidensis*.

Фиксированный и живой материал изучался и зарисовывался с использованием микроскопов МБС-9 и “Эрудит”. Для изучения мелких деталей строения применялись временные препараты, приготовленные в водно-глицериновом растворе, и постоянные, приготовленные в канадском бальзаме. При описании использовались принципы и терминология Эмдена (Emden, 1952).

### *Donus nidensis* Mazur et Petryszak

Описание личинки. Взрослая личинка светло-зеленая, с продольной белой или зеленоватой узкой полосой на дорсальной поверхности, внешне и размерами тела похожа на личинку *Phytonomus pedestris* (Заславский, 1959). Длина тела 6–9 мм, ширина — до 2 мм. Щетинки, как и у многих других представителей трибы Нурегини, двух основных типов: 1) обычной формы (цилиндрические или суживающиеся к вершине), расположенные преимущественно на вентральной поверхности тела личинки, и 2) булабовидно или весловидно расширенные на вершине, которые расположены на дорсальной его поверхности.

Головная капсула личинок I возраста почти черная, последующих возрастов (рис. 1, а) — желтая или светло-коричневая, небольшая, параллельносторонняя,

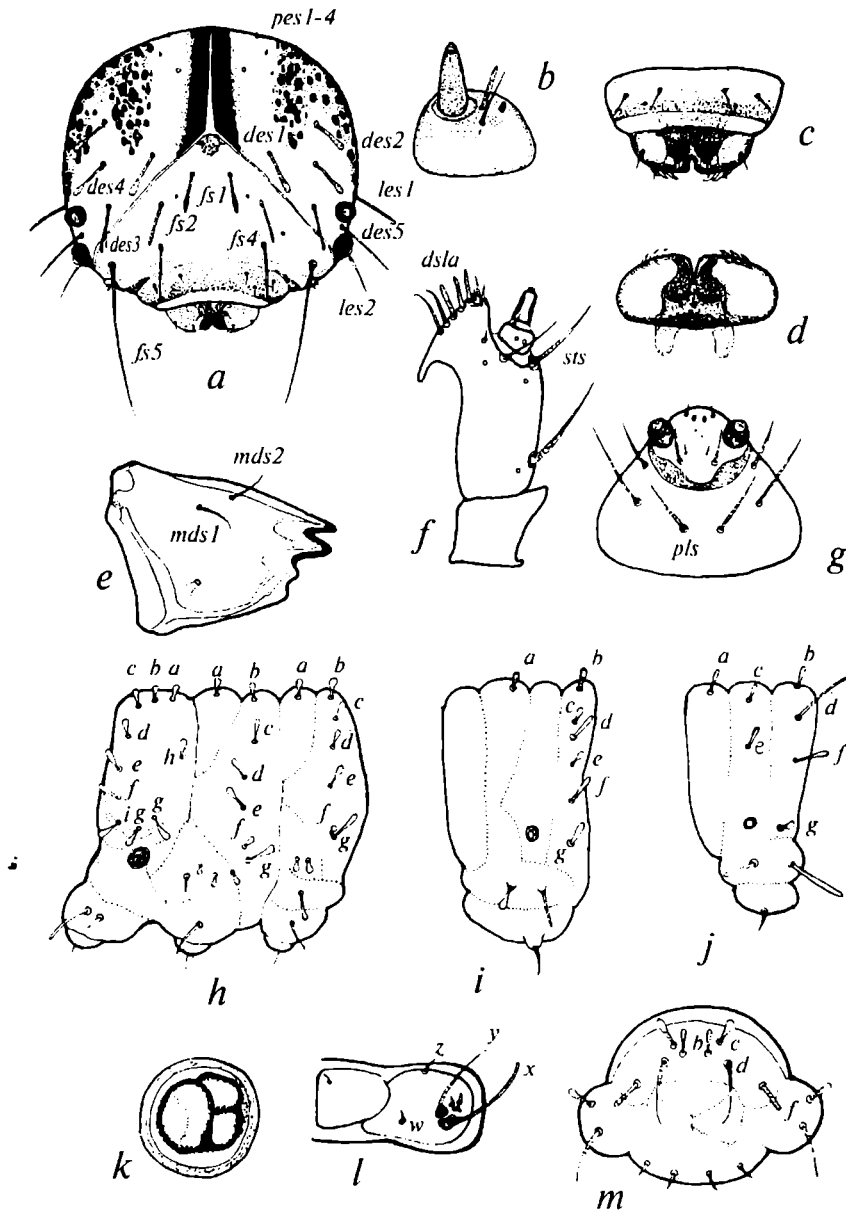


Рис. 1. Детали строения личинки *Donus nidensis*: *a* — головная капсула; *b* — антенна; *c* — наличник и дорсальная поверхность верхней губы; *d* — эпифаринкс; *e* — дорсальная поверхность мандибулы; *f* — вентральная поверхность максиллы; *g* — вентральная поверхность нижней губы; эпикраниальные щетинки: *pes* — задние, *des* — дорсальные, *les* — боковые, *ves* — вентральные; *fs* — фронтальные; *mds* — мандибулярные; *sts* — стипеальные щетинки; щетинки лацинии: *dsla* — дорсальные; *pls* — постлабиальные; *h* — сегменты груди; *i* — 2-й сегмент брюшка; *j* — 8-й сегмент брюшка; *k* — дыхальце; *l* — левая pedalная доля среднегруди; *m* — 9-й и 10-й сегменты брюшка (*a-i* — щетинки дорсальной поверхности тела; *w-z* — щетинки pedalной доли).

Fig. 1. Structural details of *Donus nidensis* larva: *a* — head capsule; *b* — antenna; *c* — clypeus and labrum dorsal surface; *d* — epipharynx; *e* — left mandibular dorsal surface; *f* — maxilla ventral surface; *g* — labium ventral surface; epicranial setae: *pes* — posterior, *des* — dorsal, *les* — lateral, *ves* — ventral; *fs* — frontal; *mds* — mandibular; *sts* — stipeal setae; lacinial setae: *dsla* — dorsal; *vsla* — ventral; *pls* — postlabial; *h* — thoracic segments; *i* — second abdominal segment; *j* — eighth abdominal segment; *k* — spiracle; *l* — mesotoracal left pedal lobe; *m* — 9th and 10th abdominal segments (*a-i* — dorsal body surface setae; *w-z* — pedal lobe setae).

на 1/3 своей длины втянута в переднегрудь. У живой личинки старшего возраста, находящейся в неактивном состоянии, головная капсула выглядит прямоугольной и сверху почти не видна. Эпикраниум с 3 более темными продольными полосами, из которых центральная расположена вдоль теменного шва с обеих его сторон. Она часто сплошная и более темная, чем боковые, продолжается на основание лобного склерита. Полосы образованы скоплением пятен неправильной формы и различного размера. Каждая из боковых полос на своей вершине неявственно V-образно ветвится. У фиксированных личинок полосы на эпикраниуме могут быть слабо заметны.

Щетинки *pes1*–*4* очень мелкие, *des1*–*des5* длинные, из них *des1*, *2*, часто и *des4* расширены на вершине, они короче *des3* в 1,5 раза; *des3*, *5* обычной формы. Щетинки *les1* и *les2* обычной формы, умеренно длинные, *les2* смещена на вентральную поверхность, *ves1* и *ves2* очень короткие, обычной формы. Стемм 2 пары, они хорошо развиты, крупные, нижняя больше верхней. Антенны (рис. 1, *b*) двучлениковые, апикальный членик тонкий, шиповидный, базальный усеченно-конусовидный, несет 2–3 шиповидных придатка, длина которых обычно не превышает 0,5–0,7 длины апикального членика.

Фронтальный склерит (рис. 1, *a*) треугольный, эндокарин отсутствует или намечена в виде короткого штриха. Щетинки, кроме *fs5*, более или менее расширены на вершине, *fs1* и *fs2* в 1,5 раза короче *fs4*, *fs5* самая длинная, в 2–3,5 раза длиннее *fs4*. Сенсиллы расположены ближе к *fs2* и снаружи от *fs4*.

Наличник (рис. 1, *a*, *c*) с двумя короткими *cls1* и *cls2*, *cls1* расположена впереди, ближе к *cls1*.

Верхняя губа (рис. 1, *c*, *d*) поперечная, с вырезкой на переднем крае, тормы сросшиеся вершинами, *lms1*–*3* короткие, *lms1* находится возле основания вырезки, *lms2*, *3* расположены на переднем крае верхней губы, *lms2* — впереди от *lms1*, *lms3* снаружи от *lms2*.

Мандибулы (рис. 1, *e*) с 2 крупными вершинными зубцами, из которых внутренней чуть короче; *mds* примерно равной длины или *mds1* короче *mds2*, последняя находится впереди и снаружи от *mds1*. Сенсилла на уровне *mds1* возле внутреннего края мандибулы.

Максилла (рис. 1, *f*) типичного для представителей семейства строения, *sts1* и *sts2* длинные, *sts3* в 1,5 раза короче *sts1*, *sts4* шипиковидная. Сенсиллы возле *sts1,2* и позади *sts4*. Щетинок *dsla* — 6, апикальная короче и тоньше, занимает промежуточное положение между *dsla* и *vs1a*, *vs1a* — 5, из них 1 длинная (возможно, она представляет собой переместившуюся вентральнее *dsla7*). Нижнечелюстные щупики двучлениковые с 2 сенсиллами, щетинка 1-го членика в 2,5 раза короче длины апикального членика.

Преллабиум (рис. 1, *g*) ограничен С-образным склеритом. Щетинки расположены возле боковых вырезок склерита, сенсиллы на склерите — снаружи от щетинок и между, 2 маленькие щетинки — на нижнем крае. На вентральной поверхности преллабиума 2 пары сенсилл и 2 щетинки. Щупики находятся возле центральной вырезки склерита, одночлениковые. Постлабиум — с 3 щетинками, *pls1*, *3* равны по длине, расположены латеральнее *pls2* и короче ее в 1,5 раза.

Пронотум (рис. 1, *h*) с 10 расширенными на вершинах щетинками, из них *a* короткая, *b*, *c*, *f*, *i*, *g'* в 1,5–2 раза длиннее, *d*, *e*, *g*, *h* в 2–2,5 раза длиннее. Следует подчеркнуть, что длина, а иногда расположение и количество щетинок может варьировать. Щетинки *a*–*c* расположены вдоль верхнего края пронотума, *d*–*f* — вдоль переднего, *h* — вблизи середины заднего, *g*, *g'*, *i* — вдоль нижнего. Передняя эпиплевральная щетинка в 1,5 раза длиннее задней. Дыхальца (рис. 1, *k*) двухкамерные, камеры и отверстие маленькие, верхняя камера немного больше нижней.

Пренотум II, III (рис. 1, *h*) с одной щетинкой *a*. Постнотум II, III с 4 щетинками *b–e*, из них *b, d*, в 1,5–2 раза длиннее *c, e*. Алярная область II (III) с 2 щетинками *f* и *g*, из них *f* в 2–2,5 раза короче *g*, причем *dII**f* удалена от *dIII**g* на большее расстояние, чем *dIII**f* от *dIII**g*. Эпиплевра II с 4 щетинками, из них 1 длиннее, 3 очень короткие. Эпиплевра III с одной длинной и 2 короткими щетинками. Все перечисленные выше щетинки торакальных сегментов расширены на вершинах. Гипоплевра с 1 щетинкой обычной формы. Педальные доли (рис. 1, *l*) с 5 щетинками обычной формы, из них *x, y* длинные, иногда *y* короче *x* в 1,5–2 раза. Обе щетинки расположены на склеритах, которые могут быть сближенными или сросшимися. Остальные щетинки очень мелкие, шипиковидные, их склерит значительно (более чем в 1,5 раза) меньше таковых щетинок *x* и *y*. Стернум с 1 щетинкой также обычной формы, на стернуме I щетинка короче, чем на остальных сегментах, и расположена медиальнее.

Сегменты брюшка 1–7 (рис. 1, *i*) разделены на 3 складки, на их дорсальной поверхности расположены только расширенные на вершинах щетинки. Пренотум с 1 щетинкой *a*, посттергум с 6 щетинками *b–f* и дыхальцевой щетинкой *g*; *b* и *c* равны по длине, они в 1,5 короче *d* и *f*, *e* в 2 раза короче *d*. Эпиплевра с 2 щетинками, гипоплевра с 1 щетинкой обычного строения. Такое же строение имеют щетинки адвентритов и вентритов. Камеры брюшных дыхалец могут быть значительно редуцированы.

8-й сегмент брюшка (рис. 1, *j*) разделен на 3 доли. Как и у предыдущих сегментов, на его дорсальной поверхности расположено 7 щетинок, но на посттергуме они более заметно расставлены: *b, d, f* — вдоль заднего края сегмента, *c, e* — посередине. Все щетинки дорсальной поверхности, кроме *d*, расширены на вершинах. Щетинки *c, e, f* на 1/4–1/3 короче *b* и *a, d* — в 2–2,5 длиннее *a, g* — очень короткая, расположена возле дыхальца. Эпиплевральных щетинок 2, передняя короче задней.

9-й сегмент брюшка (рис. 1, *m*) разделен на 2 доли, претергум без щетинок, на посттергуме 4 щетинки: *c*, расположенная посередине, *b* — ближе к заднему краю, *d* и *f* — вдоль него; *b* почти равна *f* и в 1,5–2 раза короче *d*, последняя обычного строения, остальные расширены на вершине. Эпиплевральных щетинок — 2, из них задняя — обычного строения и длиннее передней. 10-й сегмент (рис. 1, *n*) с 6–8-складчатым анальным отверстием.

*Заславский В. А.* Материалы к изучению личинок долгоносиков подсемейства Hyperinae (Coleoptera, Curculionidae) // Зоол. журн. — 1959. — 38, вып. 2. — С. 208–220.

*Emden F. van* On the taxonomy of Rhynchophora larvae: Adelognatha and Alophinae (Insecta, Coleoptera) // Proc. Zool. Soc. London. — 1952. — 122, № 3. — P. 657–795.

*Mazur M., Petryszak B.* *Donus nidensis* sp. n. (Coleoptera, Curculionidae) aus Polen // Bull. Acad. Pol. Scienc. Ser. scienc. biol. — 1981. — 29, № 1–2. — S. 35–39.

*Mazur M., Wanat M.* Ryjkowce (Coleoptera: Attelabidae, Apionidae, Curculionidae) wybranych rezerwatow roslinnosci kserotermicznej w Niece Nidzianskiej // Zesz. nauk. Uniwers. Jagiellonsk. — 1994. — 40. — P. 89–109. — (Prace zoologiczne. V. 1129).